

05;12

Деградация структуры СВС-интерметаллида Ni_3Al в условиях диффузионного контакта со сталью

© Л.А. Марвина, В.Б. Марвин

Амурский государственный университет,
675027 Благовещенск, Россия

(Поступило в Редакцию 3 августа 1995 г.)

В Ni_3Al , полученным методом самораспространяющегося высокотемпературного синтеза (СВС), экспериментально исследовано влияние гомогенности структуры на рекристаллизацию в условиях диффузионного контакта со сталью при $T = 1473\text{K}$. Установлено, что гомогенизация СВС– Ni_3Al с неоднородной структурой при диффузионном контакте со сталью сопровождается рекристаллизацией, инициированной диффузией атомов железа. Проведен сравнительный анализ механизмов диффузии примесных элементов в СВС– Ni_3Al . Показано, что диффузионная подвижность в мигрирующих границах СВС– Ni_3Al в условиях инициированной диффузией рекристаллизации возрастает на три порядка величины по сравнению со стационарными границами.

Введение

Известно, что интерметаллид Ni_3Al используется как жаропрочный и стойкий к химическому воздействию материал [1]. Одним из способов получения Ni_3Al является самораспространяющийся высокотемпературный синтез (СВС) в смеси порошков Ni и Al [2]. Однако структура интерметаллида после СВС не является однородной и оптимальной с точки зрения получения заданных свойств. Вследствие этого, как правило, проводятся гомогенизирующие отжиги после СВС Ni_3Al при $T = 1273\text{--}1473\text{K}$ и $t = 1\ldots200\text{ч}$ [2].

При получении покрытия Ni_3Al методом плазменно-лучевого напыления никеля и алюминия самораспространяющийся высокотемпературный синтез может протекать непосредственно в струе плазмы и на поверхности основного материала [3]. В этом случае последующая гомогенизация Ni_3Al будет проходить в условиях диффузионного контакта с материалом-основой. В то же время известно, что при определенных температурах диффузионный контакт с примесью в целом ряде поликристаллических материалов, в том числе Ni_3Al , вызывает миграцию границ и рекристаллизацию с образованием за мигрирующей границей сплава основы и диффундирующими примеси [4–6]. С другой стороны, рекристаллизация Ni_3Al приводит к его резкому охрупчиванию. Вследствие этого необходимо исследовать влияние диффузионного контакта с примесью на эволюцию структуры Ni_3Al в процессе гомогенизирующих отжигов. Одной из практически важных систем, где интерметаллид Ni_3Al может служить в качестве покрытия, является система сталь– Ni_3Al [3]. Поэтому в данной работе исследовано влияние диффузионного контакта с различными сортами стали на эволюцию структуры Ni_3Al , полученного методом СВС, в процессе гомогенизирующего отжига при $T = 1473\text{K}$.

Материал и методика эксперимента

Порошки Ni (размер 5 мкм) и Al (размер 20 мкм) смешивали в соотношении, соответствующем составу Ni_3Al . Смесь помещали в цилиндрический контейнер, объем которого в два раза больше объема порошков. Контейнер с порошками помещали в миксер типа "Тамбул" и смешивали в течение 1 ч. Полученную однородную порошковую смесь распределяли по заранее подготовленных стальным образом формам. Для стальных форм использовали карбидную сталь, инструментальную сталь (PG3-2365) и нержавеющую сталь (St316). Следующим этапом было прессование порошков. Для этого использовали пресс типа "Амблер". Порошки в стальной форме держали под напряжением 420 МПа в течение 2 мин. Отжиги для спекания Ni_3Al , а также диффузионные отжиги проводили в вакуумной печи типа VIS-VII. Спекание Ni_3Al проводили при $T = 893\text{K}$, диффузионные отжиги — при $T = 1273\text{--}1473\text{K}$. Микроструктуру исследовали на металлографическом микроскопе "Неофот". Образцы для металлографического исследования готовили путем механической шлифовки и полировки с последующим химическим травлением поверхности. Для построения концентрационных кривых в условиях диффузионного контакта Ni_3Al со сталью использовали растровый микроскоп "Джеол JSM 840A" с микроанализатором "Гроссор EDS".

Результаты и их обсуждение

На рис. 1 представлена структура материала в окрестности межфазной границы в системе Ni_3Al –карбидная сталь после гомогенизирующего отжига. Видно, что на межфазной границе образуется узкая (несколько мкм) переходная область, состоящая из двух зон: одна — со стороны Ni_3Al , другая — в стали. Такая картина характерна для диффузионной



Рис. 1. Металлографическая картина рекристаллизации сплава CBC–Ni₃Al после гомогенизирующего отжига при $T = 1473\text{ K}$, $t = 2\text{ ч}$ в условиях диффузионного контакта со сталью (стрелкой показано образование межфазной зоны) ($\times 50$).

межфазной зоны, образованной в процессе отжига диффузионной пары $A - B$ [7]. Наряду с этим со стороны межфазной поверхности в Ni₃Al протекает процесс первичной рекристаллизации (рис. 1). Средний размер вновь образованных зерен $d = 350\text{ мкм}$. На расстоянии $y > 940\text{ мкм}$ начинается область однородной структуры нерекристаллизованного интерметаллида Ni₃Al с размером зерен $d = 30\text{ мкм}$. Отметим, что рекристаллизация Ni₃Al заметно снижает (по сравнению с нерекристаллизованной областью) плотность и размер пор. В то же время на тройных стыках зерен образуются трещины, которые затем растут по смежным границам зерен (рис. 1). В области стали размер зерен $c = 100 - 150\text{ мкм}$ и он практически не меняется во всей области слитка. Аналогичные картины после отжига при $T = 1473\text{ K}$, $t = 2\text{ ч}$ наблюдали на системах Ni₃Al–нержавеющая сталь, Ni₃Al–инструментальная сталь.

На рис. 2 показано распределение атомов Ni, Al, Fe в системе Ni₃Al–сталь после отжига при $T = 1473\text{ K}$, $t = 2\text{ ч}$. Концентрация элементов резко меняется на ширине переходной области (20 мкм) (рис. 2). Видно, что глубина проникновения примесных элементов в интерметаллиде и стали различна. Так, глубина проникновения атомов Fe в интерметаллиде сопоставима в ширине рекристаллизованной зоны и составляет 1000 мкм. Расстояние, пройденное при этих же условиях атомами Ni и Al в стали, равно 40 мкм. Отметим, что концентрация железа лежит в пределах растворимости для интерметаллида, известной из тройной диаграммы состояния в системе Ni–Al–Fe [8].

Найдем коэффициенты диффузии атомов Fe в Ni₃Al $D_{\text{экс}}$ и Ni, Al в стали $D_{\text{экс}}^*$, используя данные рис. 2. Зависимость концентрации дифундирующе-

го вещества C от глубины проникновения y и времени t — $C(y, t)$ при объемной диффузии описываемой уравнением

$$C(y, t) = C_0 \left[1 - \operatorname{erf} \left(y / 2\sqrt{Dt} \right) \right], \quad (1)$$

где C_0 — концентрация примесного элемента в первом атомном слое основного материала, D — коэффициент объемной диффузии примесного вещества, $\operatorname{erf}(z)$ — функция ошибок.

Подставляя соответствующие значения C , y , t , полученные из эксперимента (рис. 2), можно определить, что $C_0 = 0.2$ коэффициенты объемной диффузии $D_{\text{экс}} = 2 \cdot 10^{-10}\text{ м}^2/\text{с}$, $D_{\text{экс}}^* = 4 \cdot 10^{-14}\text{ м}^2/\text{с}$.

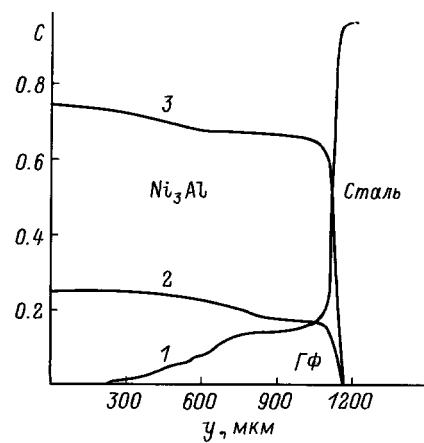


Рис. 2. Концентрационный профиль диффузионной пары CBC–Ni₃Al–сталь после гомогенизирующего отжига при $T = 1473\text{ K}$, $t = 2\text{ ч}$. 1 — Fe, 2 — Al, 3 — Ni (ГФ — межфазная граница Ni₃Al–сталь).

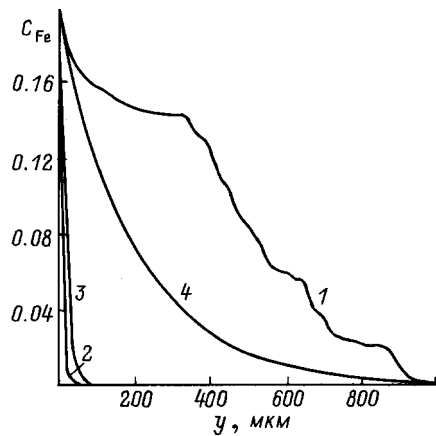


Рис. 3. Зависимость концентрации атомов железа с глубиной проникновения в СВС- Ni_3Al при $T = 1473$ К, $t = 2$ ч. 1 — эксперимент, 2—4 — теоретический расчет по механизмам объемной диффузии ($D = 2 \cdot 10^{-14}$ м²/с) и зернограницевой диффузии с учетом отсоса в объем ($D'\delta = 3 \cdot 10^{-19}$, $3 \cdot 10^{-15}$ м³/с) соответственно.

Следует отметить, что полученный выше при $T = 1473$ К коэффициент $D_{\text{эксп}}^*$ соответствует литературным данным по объемной диффузии в стали [10]. В то же время $D_{\text{эксп}}$ на четыре порядка величины превышает известный коэффициент объемной диффузии в Ni_3Al ($D = 2 \cdot 10^{-14}$ м²/с [11]) и, с другой стороны, по порядку величины совпадает с диффузионной подвижностью примеси по границам зерен сплавов на никелевой основе ($D' = 6 \cdot 10^{-10}$ м²/с при диффузионной ширине границы $\delta = 5 \cdot 10^{-10}$ м [12]). На рис. 3 представлена рассчитанная по (1) концентрация атомов Fe в объеме Ni_3Al с использованием коэффициента объемной диффузии $D = 2 \cdot 10^{-14}$ м²/с [11]. Видно, что глубина проникновения атомов железа, рассчитанная по механизму объемной диффузии, примерно в 25 раз меньше величины y , определяемой из эксперимента (рис. 3). Так как используемая в данной работе методика построения концентрационных профилей позволяет определить только объемную концентрацию диффундирующую примеси, то можно допустить, что распределение атомов железа (рис. 2) обусловлено первоначальной ускоренной диффузией по стационарным границам зерен Ni_3Al с последующим отсосом в тело зерна.

В этом случае для вычисления концентрации примеси на глубине y и расстоянии x от границы зерна используется формула [9]

$$C(y, x) = C_0 \exp \left[- \left(\sqrt{2y} \right) / (\pi D t)^{1/4} (\delta \cdot D' / D)^{1/2} \right] \times \left[1 - \operatorname{erf} \left(x / 2\sqrt{D t} \right) \right], \quad (2)$$

где D' — коэффициент зернограницевой диффузии.

Считая, что рассчитанный из (рис. 2) коэффициент $D_{\text{эксп}} = 2 \cdot 10^{-10}$ м²/с соответствует коэффициенту зернограницевой диффузии D' , $\delta = 5 \cdot 10^{-10}$ м [12], а $D = 2 \cdot 10^{-14}$ м²/с [11], получим, что на глубине $y > 50$ мкм и расстоянии от границы $x = 0.5$ мкм, т. е. практически для всего объема зерна ($D = 30 - 350$ мкм), $C(y, x) = 0$ (рис. 3). Однако полученное нами значение диффузионного проникновения $y = 1000$ мкм (рис. 2) может быть достигнуто за счет отсоса примеси в объем по формуле (2), если принять, что $D'\delta = 3 \cdot 10^{-15}$ м³/с (рис. 3). Последнее значение на три порядка величины превышает определенное для стационарных границ [12]. С другой стороны, построенный по (2) при $D'\delta = 3 \cdot 10^{-15}$ м³/с, $D = 2 \times 10^{-14}$ м²/с и $x = 0.5$ мкм концентрационный профиль лежит ниже, чем экспериментальная кривая (рис. 3). Совпадение модельной и экспериментальной кривых возможно, если предположить, что дополнительное количество атомов железа в объеме Ni_3Al появляется за счет того, что остается диффундирующий по границам зерен элемент в объеме за мигрирующей границей.

Действительно, выше отмечалось, что в условиях эксперимента диффузионное проникновение атомов Fe (рис. 2) соответствует ширине рекристаллизованной зоны в Ni_3Al (рис. 1). Таким образом, аномально быстрая диффузия в наших условиях ($D'\delta = 3 \times 10^{-15}$ м³/с при $T = 1473$ К) наблюдается только в мигрирующих границах зерен. Аналогичные результаты по увеличению диффузионной подвижности в мигрирующих границах были получены в многочисленных экспериментах при исследовании эффектов инициированных диффузией миграции границ и рекристаллизации [4,6]. Отметим, в частности, работу [5], где диффузия атомов меди вызывала рекристаллизацию Ni_3Al с образованием обогащенного медью интерметаллида. По-видимому, в данных экспериментах (рис. 1, 2), в условиях диффузионного контакта со сталью, гомогенизация Ni_3Al сопровождается деградацией структуры, вызванной эффектом инициируемой диффузией атомов Fe рекристаллизации. Характерное для вышеупомянутого эффекта увеличение диффузионной подвижности ($D'\delta$) в мигрирующей границе зерна Ni_3Al и оставление в объеме атомов железа за фронтом миграции позволяет объяснить определенный нами концентрационный профиль (рис. 3).

С целью проверки влияния стабильности структуры Ni_3Al на инициируемую диффузией Fe рекристаллизацию нами были проведены гомогенизирующие отжиги интерметаллида после СВС без диффузионного контакта со сталью при $T = 1273 - 1473$ К в течение 100–10 ч соответственно. Оказалось, что после такой предварительной гомогенизации в вакууме последующий отжиг в системе Ni_3Al -сталь при $T = 1473$ К и $t = 2$ ч не приводит к инициируемой диффузией деградации структуры. Построенный при этом концентрационный профиль соответствовал рассчи-

тенному по механизму объемной диффузии (рис. 3) с коэффициентом $D = 2 \cdot 10^{-14} \text{ м}^2/\text{с}$ [11]. Можно предположить, что гомогенизация Ni₃Al после СВС в вакууме приводит, с одной стороны, к уменьшению движущей силы инициируемой диффузией рекристаллизации (за счет уменьшения объемной плотности дефектов), а с другой — к существенному снижению степени неравновесности структуры границ зерен и, как следствие, уменьшению из подвижности.

Выходы

1. Гомогенизация интерметаллида Ni₃Al, полученного методом самораспространяющегося высокотемпературного синтеза, в условиях диффузионного контакта со сталью при $T = 1473\text{K}$ вызывает рекристаллизацию Ni₃Al со стороны межфазной границы Ni₃Al–сталь.

2. Одновременно с рекристаллизацией наблюдается значительное диффузионное проникновение атомов железа в интерметаллид. Зависимость концентрации атомов железа от расстояния от межфазной границы можно объяснить увеличением на три порядка диффузионной подвижности ($D'\delta$) в мигрирующей границе и оставлением диффундирующей примеси за фронтом миграции.

3. Сопоставление полученных результатов с литературными данными позволяет предположить, что физической причиной деградации структуры Ni₃Al при диффузионном контакте со сталью является эффект инициированной диффузией рекристаллизации. Предварительная гомогенизация в вакууме СВС–интерметаллида Ni₃Al при $T = 1273–1473\text{K}$, $t = 100–10\text{ ч}$ соответственно стабилизирует структуру, и, как следствие, последующий диффузионный контакт со сталью не приводит к инициированной диффузией деградации структуры.

Список литературы

- [1] Грабовецкая Г.П., Зверев И.К., Колобов Ю.Р. // Физ. мет. и металловед. 1994. Т. 77. № 3. С. 152–158.
- [2] Дударев Е.Ф., Бакач Г.П., Овчаренко В.Е. и др. // Изв. вузов. Физика. 1994. Т. 37. № 11. С. 80–89.
- [3] Конструкционные материалы: Справочник / Под ред. Б.Н. Арзамасова. М.: Машиностроение, 1990. 688 с.
- [4] Balluffi R.W., Cahn J.W. // Acta metall. 1981. Vol. 29. N 3. P. 493–500.
- [5] Ma C.Y., Gust W., Fournelle R.A. // Scripta Metall. 1992. Vol. 27. N 9. P. 1235–1239.
- [6] Коротаев А.Д., Почивалов Ю.И. // Физ. мет. и металловед. 1994. Т. 77. № 1. С. 131–141.
- [7] Гегузин Я.Е. Диффузионная зона. М.: Наука, 1979. 343 с.
- [8] Bradley A.J., Taylor A. J. Inst. Met. 1940. Vol. 66. N 2. P. 53–65.
- [9] Бокштейн С.З. Диффузия и структура металлов. М.: Металлургия, 1973. 208 с.
- [10] Askill I. // IFI Plenum. New York; Washington; London, 1970. 107 p.
- [11] Watanabe M., Horita Z., Sano T., Nemoto M. // Acta Metall. 1994. Vol. 42. N 10. P. 3389–3396.
- [12] Фрост Г.Дж., Эшби М.Ф. Карты механизмов деформации. Челябинск.: Металлургия, 1989. 328 с.